



*Elève-ingénieur :*

Tugdual Le Pen  
Imagerie Numérique  
2<sup>ème</sup> année du cursus ingénieur

IRISA

263 Avenue du Général Leclerc  
35000 RENNES - France  
[contact@irisa.fr](mailto:contact@irisa.fr)

*Tuteur universitaire :*

Pierre Maurel  
Enseignant chercheur

*Tuteur organisation :*

Olivier Le Meur  
Enseignant chercheur

## ÉTUDE ET MODÈLE PRÉDICTIF DE LA SAILLANCE SUR DES ŒUVRES D'ART

Année universitaire 2019 - 2020



# Remerciements

Je tiens dans un premier temps à exprimer ma gratitude à l'IRISA et plus particulièrement à l'équipe Percept pour m'avoir accueilli et considéré en tant que collaborateur durant ces six mois de stage.

Je remercie mon tuteur Olivier Le Meur pour sa pédagogie, sa confiance et son savoir-faire qui m'ont permis d'avancé sur mon projet serainement et efficacement.

Merci également aux doctorants et ingénieurs de l'équipe Percept avec qui j'ai pu échanger des bons moments et des conseils précieux pour le développement de mon projet.

Je désire aussi aussi remercier les professeurs de l'Ecole Supérieure d'ingénieurs de Rennes, qui m'ont fourni les outils nécessaires au bon déroulement de mon stage. Je tiens à remercier spécialement Pierre Maurel mon professeur référent universitaire.

Enfin, pour conclure, je souhaiterais remercier toutes les personnes qui ont participé de différentes façons à la réussite de mon stage.

# Résumé

Pour valider ma 4<sup>ème</sup> année de mon cycle ingénieur en Technologie de l'Information avec spécialité Imagerie Numérique, j'ai effectué un stage d'une durée de six mois dans l'Institut de Recherche en Informatique et Systèmes Aléatoires (IRISA). C'est un laboratoire de recherche impliqué dans le domaine de l'informatique et des technologies de l'information. Il couvre l'ensemble des thématiques de ces domaines, de l'architecture des ordinateurs et des réseaux à l'intelligence artificielle en passant par le génie logiciel, les systèmes distribués et la réalité virtuelle.

J'ai rejoint plus précisément l'équipe Percept (2018) qui est spécialisée dans le comportement visuel de différentes populations. L'un des projets de cette équipe est d'étudier la saillance dans les peintures. Notamment la capacité de déterminer cette saillance automatiquement au moyen de machine learning.

Mon objectif est de participer à ce projet et mettre en place des applications qui permettraient de montrer les possibilités d'utilisations de ce genre de programme.

To validate my 4<sup>th</sup> year of my engineer cycle specializing in Digital Imaging, I did a six-month internship in the Research Institute in Computer Science and Random Systems (IRISA). It is a research laboratory involved in the field of computer science and information technology. It covers all the themes of these fields, from the architecture of computers and networks to artificial intelligence, including software engineering, distributed systems and virtual reality.

I joined the team Percept (2018) which specializes in the visual behavior of different populations. One of the projects of this team is to study the saliency in paintings. In particular the ability to determine this salience automatically by means of machine learning.

My objective is to participate in this project and set up applications which allow us to show the possibilities of uses of this kind of program.

# Sommaire

<b>Remerciements</b>	<b>2</b>
<b>Résumé</b>	<b>3</b>
<b>I Introduction</b>	<b>5</b>
<b>II IRISA</b>	<b>7</b>
<b>III Contexte</b>	<b>8</b>
III.1 Fixation et saccade . . . . .	8
III.2 Saillance et carte de saillance . . . . .	9
III.3 Base de données et oculométrie . . . . .	11
<b>IV Présentation et premiers programmes</b>	<b>12</b>
IV.1 Présentation pour la journée du patrimoine de l'IRISA . . . . .	12
IV.2 Vidéo fondu . . . . .	13
IV.3 Vidéo chemins visuels . . . . .	13
<b>V Modèles de saillance</b>	<b>14</b>
V.1 État de l'art et choix du modèle de saillance . . . . .	14
V.2 Entrainement du modèle . . . . .	16
<b>VI Applications</b>	<b>18</b>
VI.1 Recherche d'application . . . . .	18
VI.2 Effet Ken burns . . . . .	19
<b>VII Conclusion</b>	<b>21</b>
<b>Bibliographie</b>	<b>22</b>
<b>Annexes</b>	<b>23</b>

# I. Introduction

La peinture et le mouvement du regard de l'Homme ont toujours eu un lien étroit. En effet chaque spectateur regardera un tableau d'une manière différente de son voisin parce que chaque individu a sa propre culture, son propre point de vue... Pourtant la structure d'une peinture amènera le spectateur à suivre un sens de lecture. Celui-ci sera généralement commun à tous les spectateurs. Par exemple un individu qui découvre le tableau de La Joconde pour la première fois regardera presque systématiquement en premier lieu le visage de Mona Lisa et particulièrement ces yeux qui ont un effet particulier. Rare sont les personnes qui commenceront par identifier les éléments du décor en arrière-plan de la peinture.



*Image I.1 – La Joconde de Leonard de Vinci*

Ce sont l'ensemble de ces éléments qui attirent l'œil humain qui constituent la saillance. C'est un élément important pour de nombreux domaines. On pense notamment au domaine du marketing et de la publicité qui doivent créer des affiches ou des spots publicitaires avec pour objectif d'attirer le plus possible le regard des consommateurs.

La saillance dans la peinture permet d'analyser et de comprendre le regard humain ainsi que toutes les particularités qui en découlent. L'équipe Percept, équipe de recherche du laboratoire de l'IRISA, se penche sur le sujet et notamment à l'automatisation pour déterminer la saillance dans les peintures à l'aide de modèles de réseaux de neurones basés sur le machine learning.

## I. Introduction

---

C'est là que le sujet de mon stage intervient. Cela consiste dans un premier temps à faire l'état de l'art des différents modèles de saillance qui existent sur des images naturelles. Dans un second temps le but est d'adapter le meilleur modèle pour qu'il s'adapte à des peintures. Et enfin à partir des résultats de ce modèle trouver des applications visuelles et ludiques pour montrer l'intérêt d'un tel modèle.

Ce stage qui m'as été proposé par Olivier Le Meur correspondait à ce que je recherchais. C'est-à-dire un stage basé sur le machine learning, qui fait suite à mon projet industriel à l'ESIR qui consistait à générer des visages au moyen de réseau de neurones antagoniste génératif (GAN). Mais aussi un stage varié qui puisse me permettre de me former sur plusieurs compétences différentes.

## II. IRISA

L'IRISA - Institut de Recherche en Informatique et Systèmes Aléatoires - est aujourd'hui le plus grand laboratoire de recherche français (+ de 850 personnes) dans le domaine de l'informatique et des technologies de l'information. Il couvre l'ensemble des thématiques de ces domaines, de l'architecture des ordinateurs et des réseaux à l'intelligence artificielle en passant par le génie logiciel, les systèmes distribués et la réalité virtuelle.

L'IRISA, créé en 1975, est issu d'une volonté de collaboration entre huit établissements tutelles pluridisciplinaires : CentraleSupélec, CNRS, ENS Rennes, IMT Atlantique, Inria, INSA Rennes, Université Bretagne Sud, Université de Rennes 1. Il est aujourd'hui dirigé par Jean Marc Jézéquel.



*Image II.1 – Logo de l'IRISA*

l'IRISA est présent sur 3 sites géographiques au sein du territoire breton (Rennes, Lannion et Vannes). Mon stage s'est déroulé dans les locaux de Rennes. Le laboratoire est structuré en sept départements scientifiques :

- D1 - Systèmes Large Échelle
- D2 - Réseaux, Télécommunication et Services
- D3 - Architecture
- D4 - Langage et génie logiciel
- D5 - Signaux et Images numériques, Robotique
- D6 - Média et interactions
- D7 - Gestion des données et de la connaissance

L'équipe PERCEPT du département Média et interactions est spécialisé dans le comportement visuel de différentes populations.

## III. Contexte

Le stage a commencé par de la documentation en rapport avec le sujet de stage. N'ayant pas d'accès à un poste la première semaine de stage, Olivier m'a donné quelques documents introduisant des notions importantes sur le regard humain et la saillance. Ce sont des domaines plutôt liés à l'anatomie et la psychologie mais qu'il est important de comprendre si l'on veut pouvoir interpréter les résultats obtenus en sortie des scripts.

Je vais vous expliquer ici les notions fondamentales qui permettent de comprendre le regard humain et comment il est possible de le mesurer pour l'analyser.

### III.1. Fixation et saccade

Le regard est une alternance entre des périodes où l'œil reste relativement stationnaire, que l'on appelle "**fixations**", et de courtes périodes de plus grande mobilité, que l'on appelle "**saccades**"[3]. Ce sont des notions qui ont été décrites pour la première fois en 1879 par Javal et Lamare. Il a été possible d'établir des mesures sur le mouvement des yeux deux décades plus tard (Erdmann et Dodge 1898). Ces mesures ont ouvert le champs aux possibilités d'expérimentation sur la psychologie liée au mouvement des yeux. Cela a permis de mieux comprendre le processus d'analyse quand quelqu'un lit, résoud un problème, regarde un film ou quand quelqu'un regarde une peinture.

Chaque fixation est reliée à une autre fixation par une saccade. Ainsi le regard d'une personne dans le temps est donc constitué d'une succession de fixations et de saccades qui forment une chaîne. On appelle cela le **chemin visuel**. C'est en analysant le chemin visuel que l'on est capable de comprendre comment un individu regarde une peinture ou tout autre élément visuel.

Sur l'image III.1 (*Avenue of trees in a small town*, A. Sisley, 1866) on peut voir l'exemple d'une représentation de chemins visuels de trois observateurs différents distingués chacun par une couleur différente. Sur cette image chaque fixation est représentée par un cercle numéroté qui correspond à son positionnement dans le parcours du regard. La taille des cercles dépend de la durée de la fixation en question. Ici chaque fixation est reliée à une autre fixation par un trait qui représente une saccade.



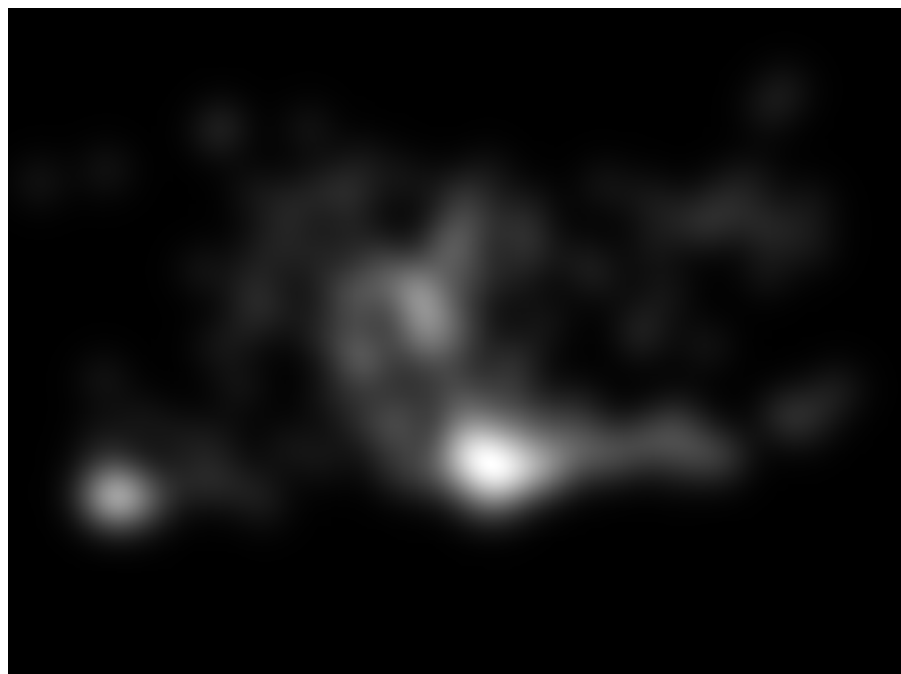
*Image III.1 – Exemple de chemins visuels de 3 observateurs différents.*

## III.2. Saillance et carte de saillance

Sur l'exemple précédent il est facile de remarquer que chaque individu aborde la peinture avec un regard différent d'un autre. Cependant il est très important de noter qu'il y a des similarités dans les zones regardées. Il y a des endroits de la peinture que les trois observateurs ont regardé, comme le bout du chemin ou l'arbre de gauche au premier plan, tandis que d'autres endroits sont ignorés, les bordures de la peinture entre autre. Ce sont ces zones plus souvent regardées que l'on appellera des zones saillantes.

La **saillance** est donc la notion qui définit qu'un élément est facilement remarqué. Elle existe aussi dans le domaine sonore ou linguistique. Ici c'est évidemment la saillance visuelle qui nous intéresse. Un élément dit saillant est donc un élément qui dénote du reste de l'œuvre et qui attirera le regard de l'observateur. Les critères qui définissent la saillance d'un objet sont régies par deux facteurs importants. Le facteur "**Bottom-up**" basé sur les informations simples comme les couleurs, le contraste ou la luminosité. Le facteur "**Top-down**" lui est basé sur des informations propres à l'observateur. Il peut être influencé par une tâche à accomplir, par sa culture, ses connaissances, son âge... C'est à partir de tous ces éléments que l'on peut déduire une forte connexion entre le mouvement des yeux, ou le chemin visuel, et la saillance d'une peinture.

De cette relation on va pouvoir, à partir du chemin visuel de plusieurs observateurs, générer une **carte de saillance** (voir image III.2). Celle-ci va nous permettre de mettre en évidence les éléments saillants d'une image. Elle est obtenue en moyennant les points de fixations de différents observateurs.



*Image III.2 – Exemple de carte de saillance*

Si on superpose la carte de saillance et la peinture associée on peut facilement voir quels sont les éléments saillants de l'œuvre (voir image III.3). Ici la carte de saillance nous révèle que le village au bout du chemin, les deux personnages en bas à gauche et la végétation au premier plan sont les éléments saillants de l'œuvre.



*Image III.3 – Carte de saillance et peinture superposées*

Mon but lors de ce stage sera d'entrainer un réseau de neurones capable de générer une carte de saillance avec comme seule entrée une peinture.

### III.3. Base de données et oculométrie

Afin de pouvoir entraîner un réseau de neurones il nous faut une base de données avec des données oculométriques sur des peintures. C'est-à-dire une base de données avec l'enregistrement du chemin visuel de différents observateurs qui regardent une peinture.

La mesure du mouvement des yeux d'une personne est possible grâce à un **oculomètre** (voir image III.4). Cet appareil retranscrit le regard d'un observateur avec une grande précision et peut nous donner des informations comme la position et la durée d'une fixation. Inventé vers la fin du 19<sup>ème</sup> siècle, il en existe aujourd'hui des versions électroniques très efficace.



*Image III.4 – Exemple d'oculomètre*

Des étudiants de l'ISTIC ont effectué un stage sous la direction d'Olivier Le Meur pour constituer une base de données oculométrique de 21 observateurs sur un total de 150 peintures. Ce sont des peintures de 5 grands mouvements artistiques (Fauvisme, Impressionnisme, Réalisme, Romantisme et Pointillisme) avec chacun 3 genres (Nature morte, Nu, Paysage). Chaque participants avait 5 secondes pour regarder une peinture ce qui nous donne des données oculométrique étaler de 5 secondes dans le temps.

# IV. Présentation et premiers programmes

## IV.1. Présentation pour la journée du patrimoine de l'IRISA

Olivier m'a proposé de réaliser un diaporama pour le stand de l'équipe Percept lors de la journée du patrimoine à l'IRISA programmé le 24 Mars 2020 à l'origine mais qui a été reportée à cause du contexte actuel de situation sanitaire d'urgence. J'ai tout de même réalisé la présentation et devrait être diffusée à la prochaine journée du patrimoine. Olivier m'as conseillé de réaliser le diaporama en  $\text{\LaTeX}$  qui est un langage de programmation qui permet de réaliser des documents équivalents à ceux édités sous Word ou Open Office. L'avantage de ce langage est qu'il permet d'automatiser beaucoup d'élément, notamment la mise en page. Dans ma présentation je devais mettre une dizaine d'œuvres avec pour chacune d'elle une bonne quantité d'information (description, carte de saillance...).  $\text{\LaTeX}$  m'a permis d'automatiser la mise en diapositive des peintures pour un rendu de qualité.

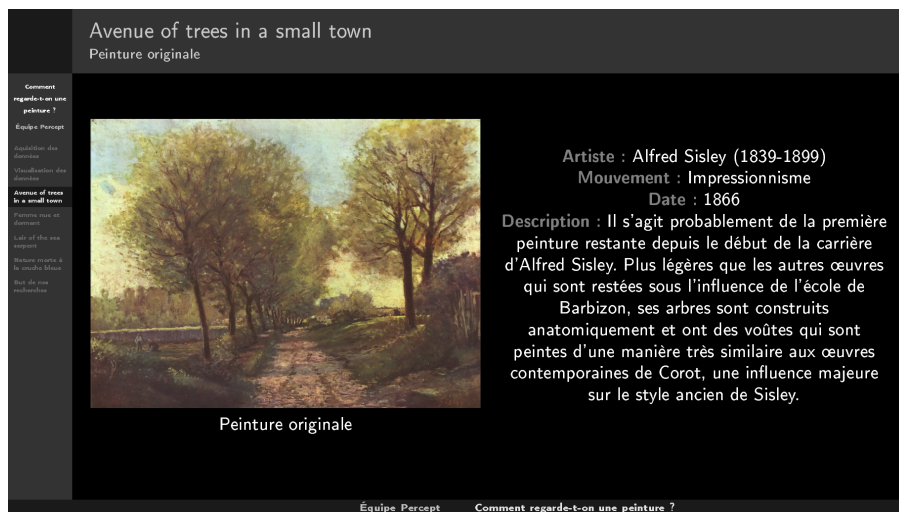
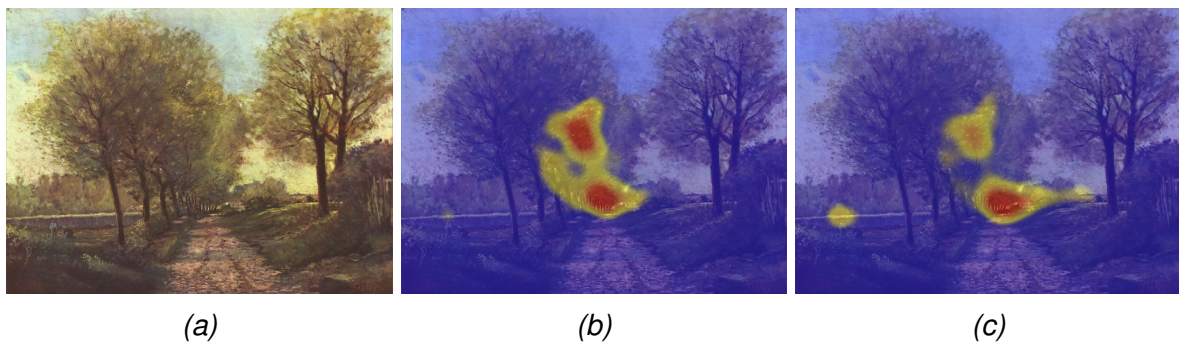


Image IV.1 – Extrait de la présentation

Afin de rajouter des animations dans mon diaporama, notamment des vidéos pour faciliter la compréhension, je me suis lancé dans la programmation de petits programmes en langage Python. Même si il y a eu de nombreux TPs en Python lors de cette année à l'ESIR j'ai remarqué que j'avais encore beaucoup à apprendre en regardant ce qu'il se faisait déjà sur le gitlab de l'équipe Percept (site web qui permet d'échanger et de sauvegarder facilement des documents). Cela m'a aussi permis de me familiariser avec les différentes données présentes dans la base de données oculométrique.

## IV.2. Vidéo fondu

Le premier script permet de créer une vidéo avec une transition en fondu entre chaque image donnée en entrée du programme. L'intérêt d'un tel script est de le combiner au résultat d'un autre programme du gitlab qui donnait des cartes de chaleur de saillance. Ce sont des cartes de saillance en couleur où les zones saillantes sont représentées par des couleurs chaudes. Cela permet de faire évoluer la carte de chaleur de saillance en fonction du temps d'observation (voir Image IV.2). Pour ma présentation j'ai généré des cartes de chaleur au bout de 1 seconde d'observation, puis au bout de 2, etc. jusqu'à 5 secondes d'observation. La vidéo permettait donc d'enchaîner les différentes cartes de chaleur avec un rendu propre avec pour but final d'analyser comment la saillance évoluait au cours du temps.



*Image IV.2 – (a) Peinture originale, (b) Carte de chaleur de saillance après 2s d'observation, (c) Carte de chaleur de saillance après 5s d'observation*

Ce programme n'est pas très compliqué en soit mais il m'a permis de découvrir des librairies sur Python très utiles que je n'avais jamais essayé auparavant.

## IV.3. Vidéo chemins visuels

Mon deuxième script consistait à afficher les chemins visuels représentés par des cercles et des lignes comme vu précédemment avec l'image III.1. Cela permet de visualiser le mouvement des yeux de l'observateur et de pouvoir suivre son regard. Les défauts du résultat obtenu c'est qu'avec plusieurs observateurs l'image était rapidement surchargée par les chemins visuels qui se superposent et les couleurs choisies aléatoirement pour différencier les observateurs peuvent être très similaires.

J'ai donc fait évoluer ce script en y ajoutant de l'animation. J'ai rajouté une option qui permettait de générer une vidéo où chaque cercle (donc chaque fixation) s'affichait les uns après les autres. Cela permet donc d'avoir en fin de vidéo une image qui reste surchargée mais comme le spectateur a suivi le déroulement de l'animation, celui-ci est beaucoup moins confus. Ce point est aussi vrai pour l'inconvénient des couleurs trop similaires.

# V. Modèles de saillance

## V.1. État de l'art et choix du modèle de saillance

Il existe aujourd'hui de nombreux modèles de saillance qui permettent de générer des cartes de saillance à partir de scènes naturelles (photos). Ces programmes donnent des résultats plus ou moins proches de la vérité terrain sans pour autant réellement l'atteindre. En revanche le gros avantage est qu'ils permettent d'éviter la fastidieuse tâche de récupération des données oculométriques sur des humains tout en ayant des résultats satisfaisant.

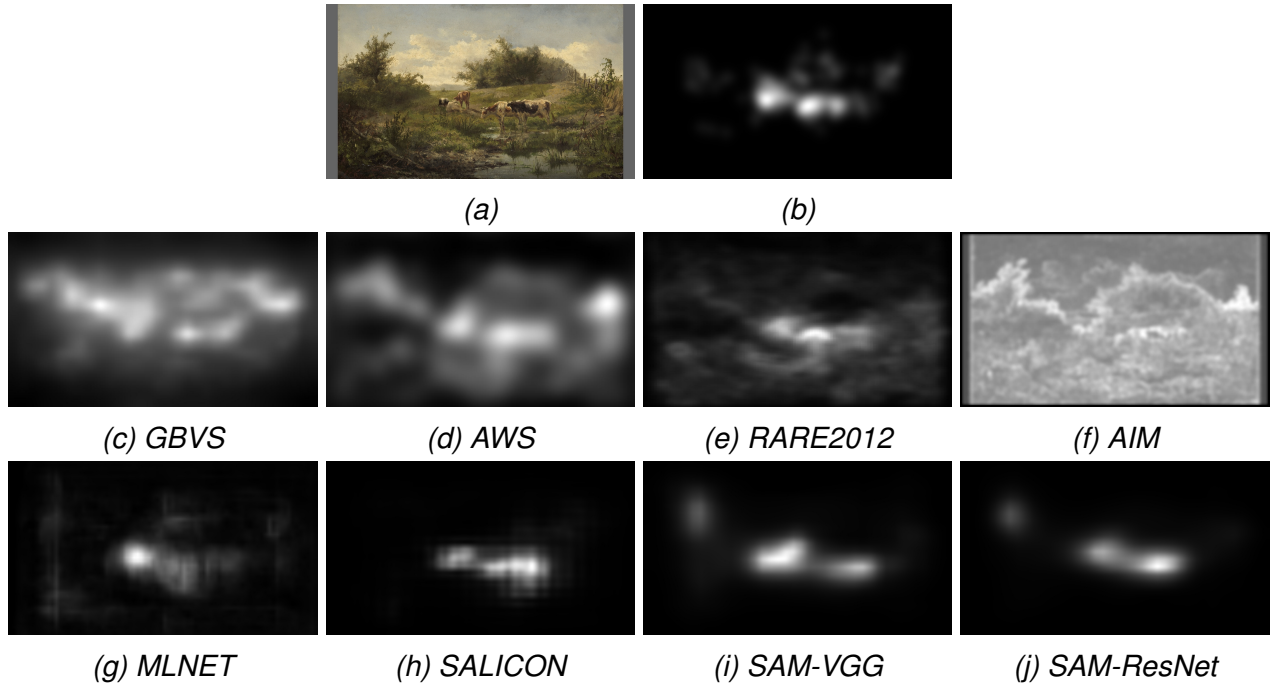
Il y a aujourd'hui deux types de modèles de saillance : les modèles "fait-main" qui appliquent des traitements sur l'image suivant des fonctions mathématiques et les modèles basés sur l'apprentissage profond qui s'entraînent sur des bases de données pour s'améliorer. Les modèles fait-main sont en général plus anciens et précèdent l'avènement du machine learning et de l'apprentissage profond. Ils sont donc généralement moins puissants que les modèles profonds.

Ici notre objectif est de déterminer parmi les modèles qui existent quel est le modèle qui obtient les meilleurs résultats quand on lui donne des peintures en entrée. Pour pouvoir comparer le plus objectivement possible les résultats, il est nécessaire d'utiliser des métriques de qualité. Comme le mètre est utilisé pour mesurer une distance, les métriques sont des outils de mesure avec des échelles variées qui permettent d'associer un score jugeant la qualité de nos cartes de saillances. Il est préférable d'utiliser plusieurs métriques différentes puisque chacune d'entre elles a ses qualités et ses défauts. Ici les métriques utilisées sont celles du benchmark du MIT [4].

Mon rôle ici a été de tester tous les modèles profonds pour vérifier dans un premier temps s'il était possible de les faire tourner et dans un second temps de données des peintures en entrées pour pouvoir y appliquer les métriques de qualité. On peut voir dans l'image V.1 les résultats des différents modèles comparés à la carte de saillance originale.

Visuellement il est assez évident de dire que les modèles profonds sont plus proches de l'original que les autres. Cela se confirme dans l'analyse des métriques. Dans le tableau V.1 on voit que les scores moyens des modèles fait-mains sont tout le temps moins bons que les modèles profonds. Les scores en gras sont les meilleurs scores entre tous les modèles. Ici SAM-ResNet est clairement le plus performant avec le meilleur score dans cinq des

sept métriques utilisées. C'est logiquement qu'avec Olivier on a choisi de continuer nos recherches avec SAM-ResNet.



*Image V.1 – Cartes de saillance de modèles fait-mains (2<sup>ème</sup> ligne) et profonds (3<sup>ème</sup> ligne). La 1<sup>ère</sup> ligne illustre le stimuli originale et sa carte de saillance humaine*

Modèle	CC ↑	KL ↓	SIM ↑	NSS ↑	AUC-B ↑	AUC-J ↑
GBVS	0.506	0.962	0.446	1.256	<b>0.809</b>	0.817
RARE2012	0.443	1.020	0.438	1.103	0.777	0.786
AIM	0.315	1.245	0.371	0.772	0.723	0.735
AWS	0.427	1.045	0.430	1.083	0.762	0.769
Moyenne	0.422	1.068	0.421	1.053	0.774	0.776
MLNET	0.576	<b>0.832</b>	0.513	1.524	0.770	0.818
DeepGazell	0.485	0.896	0.488	1.394	0.679	0.804
SALICON	0.538	0.880	0.517	1.445	0.708	0.827
SAM ResNet	<b>0.700</b>	0.984	<b>0.613</b>	<b>1.834</b>	0.782	<b>0.862</b>
SAM VGG	0.617	0.970	0.561	1.603	0.752	0.846
Moyenne	0.583	0.912	0.551	1.560	0.738	0.831

*Tableau V.1 – Performances des modèles de saillance sur les peintures de la base de données.*

## V.2. Entrainement du modèle

On a donc un modèle profond pré-entraîné pour déterminer la saillance dans les scènes naturelles. Pour adapter ce modèle aux peintures afin d'obtenir de meilleurs scores et donc une meilleure qualité dans les cartes de saillance générées, on va faire du "**fine tuning**" que l'on peut traduire par "ajustement". C'est-à-dire qu'au lieu d'entraîner le modèle en partant de zéro, on va prendre les poids du modèle actuel et entraîner le modèle à partir de ceux-ci. Si on compare ça à une course, au lieu de commencer la course au départ, on part d'un checkpoint au milieu de la course. Cela permet de gagner du temps lors de l'entraînement sans perdre en qualité.

La base de données utilisée pour l'entraînement est celle décrite dans la partie III.3. Des 150 peintures disponibles, 90 sont utilisées pour l'entraînement, 20 pour la validation et les 40 dernières sont pour le test du modèle. Les peintures étaient dans un premier temps choisies par ordre alphabétique, ce qui était supposément un ordre aléatoire. Il s'est avéré après coup que la plupart des natures mortes ou des peintures nues avait le genre dans leur titre ce qui faussait l'aléatoire. J'ai donc créé un petit script qui m'a permis de faire la séparation de ma base de données de manière complètement aléatoire. Cela a permis d'améliorer la qualité des cartes de saillance générées.

Modèle	CC ↑	KL ↓	SIM ↑	NSS ↑	AUC-B ↑	AUC-J ↑
SAM ResNet	0.691	1.088	0.609	1.792	0.786	0.857
SAM ResNet (fine-tuné)	0.758	0.836	0.681	1.922	0.845	0.882
Gain (%)	+9.7%	-23%	+11.8%	+7.2%	+7.5%	+2.9%

Tableau V.2 – Performances de SAM-ResNet après fine-tuning

Les résultats obtenus après l'entraînement sont plutôt bons. Les scores avant et après des métriques sont visibles dans le tableau V.2. Toutes les métriques montrent un score supérieur pour le modèle ré-entraîné. Un exemple des résultats sur les images V.2 montre qu'effectivement sans être une copie conforme de la carte de saillance humaine, la version ré-entraînée de Sam-ResNet donne des résultats corrects.

Cependant il est important de noté que les mouvements artistiques des peintures influencent les résultats du modèle de saillance. En effet les résultats sont bien meilleurs sur des peintures appartenant au mouvement Réalisme ou Romantisme que celles du Pointillisme. Cela est dû au fait que le modèle étant construit et entraîné originellement pour des scènes naturelles est ce qui se rapproche le plus des peintures réalistes. Pour améliorer les résultats je pense qu'il faudrait ré-entraîner entièrement le modèle avec une plus grande base de données et avoir plus de diversité avec plus de styles et de mouvements différents.

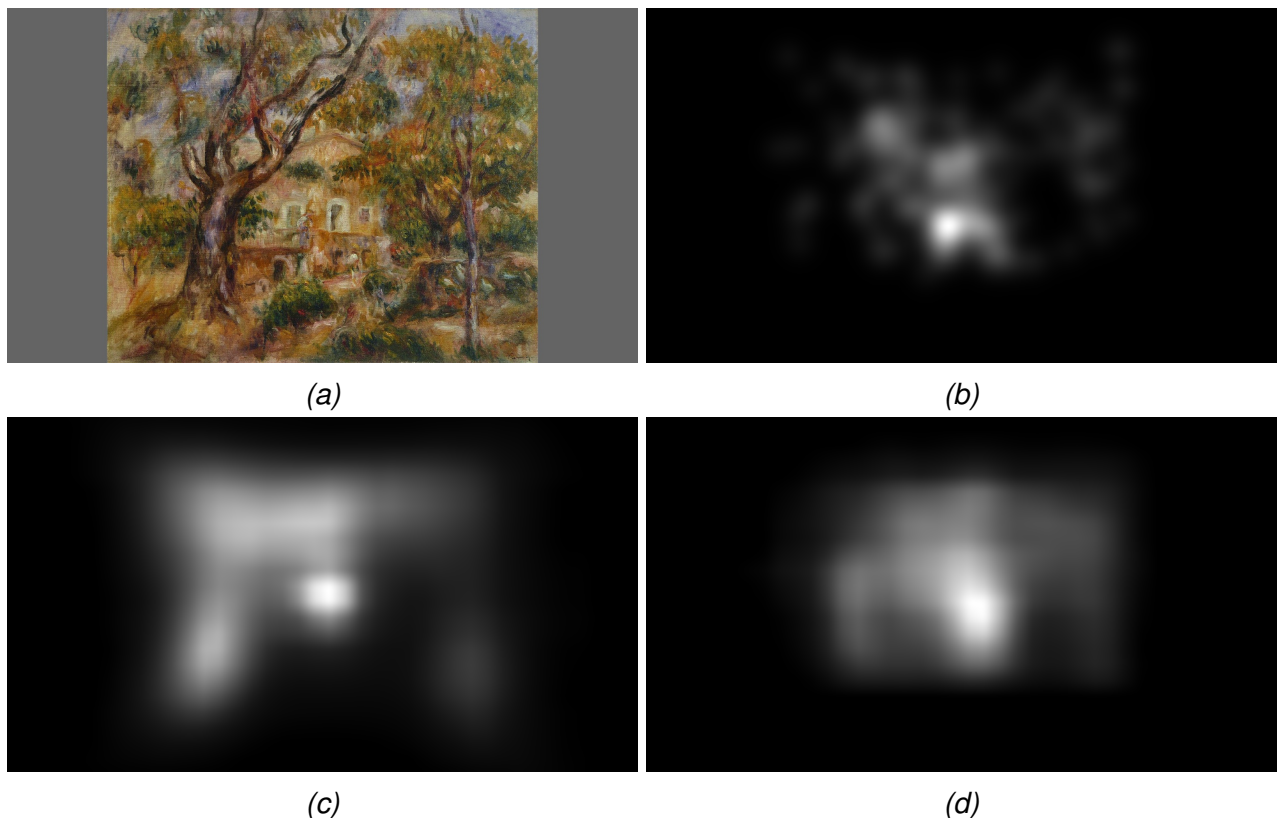


Image V.2 – (a) Peinture originale, (b) carte de saillance humaine, (c) prédition SAM-ResNet et (d) prédition de SAM-ResNet ré-entraîné . (Renoir, La ferme des Collettes, 1908.)

# VI. Applications

Les applications possibles à partir des cartes de saillance sont illimitées. Eakta Jain, professeur assistante à l'université de Floride, a déjà travaillé avec Olivier et a pu nous apporter son expérience grâce aux différents projets d'applications basés sur le mouvement du regard qu'elle a réalisé [5]. Ses projets liés au regard humain sont souvent appliqués aux comics qui ont des similarités avec la peinture.

## VI.1. Recherche d'application

Afin de déterminer quelle application il serait intéressant de développer, il faut faire une recherche de ce qui existe déjà ou inventer autre chose. Je vais présenter ici les différentes pistes qui ont été envisagées et expliquer notre choix final.

Pour ajouter du mouvement, il existe des logiciels qui permettent de générer des plotagraphes. Basé sur les cinéma-graphes, qui sont des mélanges d'images et de vidéos, les plotagraphes permettent d'ajouter du mouvement à partir de l'image seule. En revanche il faut ajuster à la main les zones à mouvoir donc difficilement automatisable et le résultat n'est impressionnant que sur les fluides (eau, nuages, fumée...).

Eakta a un projet de segmentation des différentes parties d'un comic pour animer les personnes qui parle et ajouter du son [9]. La segmentation est obtenue à partir du chemin visuel acquis par oculométrie. Une idée intéressante mais difficilement adaptable à toutes les peintures car trop détaillée.

Un autre projet d'Eakta appelé "Predicting Moves-on-Stills for Comic Art using Viewer Gaze Data" [6] ajoute un effet de Ken Burns sur des pages de comics en fonction des prédictions du mouvement du regard du spectateur. C'est un effet intéressant et facile à mettre en place. C'est la piste vers laquelle on se dirigera et que l'on détaillera dans la partie suivante. Il existe aussi une version 3D de cet effet [7] qui est très impressionnant mais est compliqué à mettre en place et difficile à mettre en relation avec la carte de saillance.

## VI.2. Effet Ken burns

L'effet Ken Burns est représenté par un mouvement de caméra (panoramique, zoom ou rotation) sur une image fixe. L'ajout de mouvement et d'animation permet de garder l'attention du spectateur. C'est un effet qui est très régulièrement utilisé dans les documentaires, dans les journaux ou tout simplement dans les diaporamas photos.

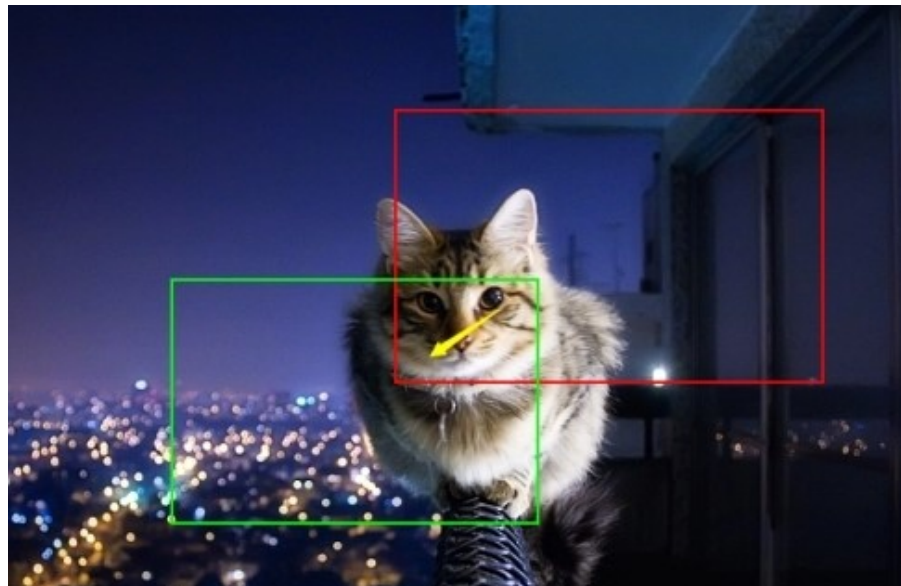


Image VI.1 – Exemple d'effet Ken Burns avec panoramique du cadre rouge vers le cadre vert

J'ai donc décidé de partir sur un effet Ken Burns comme projet d'application. Mon but ici est que le mouvement de la caméra suive celui d'un œil humain. On est capable de générer un chemin visuel à partir d'une carte de saillance grâce à un modèle saccadique. J'ai pu en utiliser un créé par Olivier Le Meur [8] disponible sur le gitlab de l'équipe Percept. Ainsi à partir d'une peinture on obtient une carte de saillance grâce au modèle de saillance, puis le chemin visuel grâce au modèle saccadique et enfin un effet Ken Burns qui suit le chemin visuel.

Je me suis donc lancé dans la réalisation d'un programme en Python qui en entrée prend une peinture et le chemin visuel associé pour en sortie obtenir une vidéo avec l'effet Ken Burns. Le principe de base est d'avoir une caméra qui se déplace dans l'image et qui enregistre ses déplacements à la fréquence de la vidéo de sortie.

Pour les mouvements j'ai codé le zoom et le panoramique, la rotation ici n'a pas forcément d'intérêt. J'ai d'abord commencé par créer l'effet de zoom qui consiste à redimensionner l'image tout en gardant la résolution de la caméra identique. Donc par exemple pour un zoom x2 je double la taille de l'image mais je garde celui de la caméra sur les dimensions d'origine. Une fois zoomé, le but est de se déplacer de fixation en fixation en suivant le chemin visuel. Afin d'obtenir des mouvements lisses et de pouvoir gérer les bords proprement

je précalcule la position finale de ma caméra puis je fais bouger la caméra de mon point d'origine vers la position finale. En fusionnant les deux mouvements on peut créer un zoom sur un point précis de l'image.

Dans un premier temps le mouvement était trop linéaire pour un rendu final assez pauvre et saccadé. Pour lisser les mouvements j'ai appliqué un effet de ease-in-out. Cela permet d'avoir une accélération progressive au début du mouvement et une décélération progressive à la fin. % *Expliquer ease-in-out avec formule et interpolation ?*

## VII. Conclusion

# Bibliographie

- [1] Site de l'IRISA - Présentation du laboratoire  
<https://www.irisa.fr/fr/page/recherche-innovation-sciences-technologies-du-numerique>
- [2] Site de l'IRISA - Présentation de l'équipe PERCEPT  
<https://www.irisa.fr/fr/equipes/percept>
- [3] *Art, Aesthetics, and the brain*, 2015  
par J.P. Huston, M. Nadal, F. Mora, L.F. Agnati et C.J. Cela-Conde
- [4] *MIT saliency benchmark*, 2015  
par Bylinskii Z, Judd T, Borji A, Itti L, Durand F, Oliva A, et al.  
<http://saliency.mit.edu/>
- [5] Projet "Eye-tracking and Comics" de Eakta Jain  
<https://jainlab.cise.ufl.edu/comics.html>
- [6] *Predicting Moves-on-Stills for Comic Artusing Viewer Gaze Data*, 2015  
E. Jain, Y. Sheikh, J. Hodgins  
<https://jainlab.cise.ufl.edu/documents/motion-comics-cga2015.pdf>
- [7] *3D Ken Burns Effect from a Single Image*, 2019  
S. Niklaus, L. Mai, J. Yang, F. Liu  
<https://arxiv.org/pdf/1909.05483.pdf>
- [8] *Saccadic model of eye movements for free-viewing condition*, 2015  
O. Le Meur, Z. Liu  
<https://www.sciencedirect.com/science/article/pii/S0042698915000504>
- [9] *Creating Segments and Effects on Comics by Clustering Gaze Data*, 2017  
I. Thirunarayanan, K. Khetarpal, S. Koppal, O. Le Meur, J. Shea, E. Jain  
[https://jainlab.cise.ufl.edu/documents/REQGazeComics\\_preprint.pdf](https://jainlab.cise.ufl.edu/documents/REQGazeComics_preprint.pdf)

# Annexes

Ceci est l'annexe.